

Nambu-Goldstone Fermion in **Quark-Gluon Plasma** and **Bose-Fermi Cold Atom System**

佐藤大輔 (理研/BNL → ECT*)

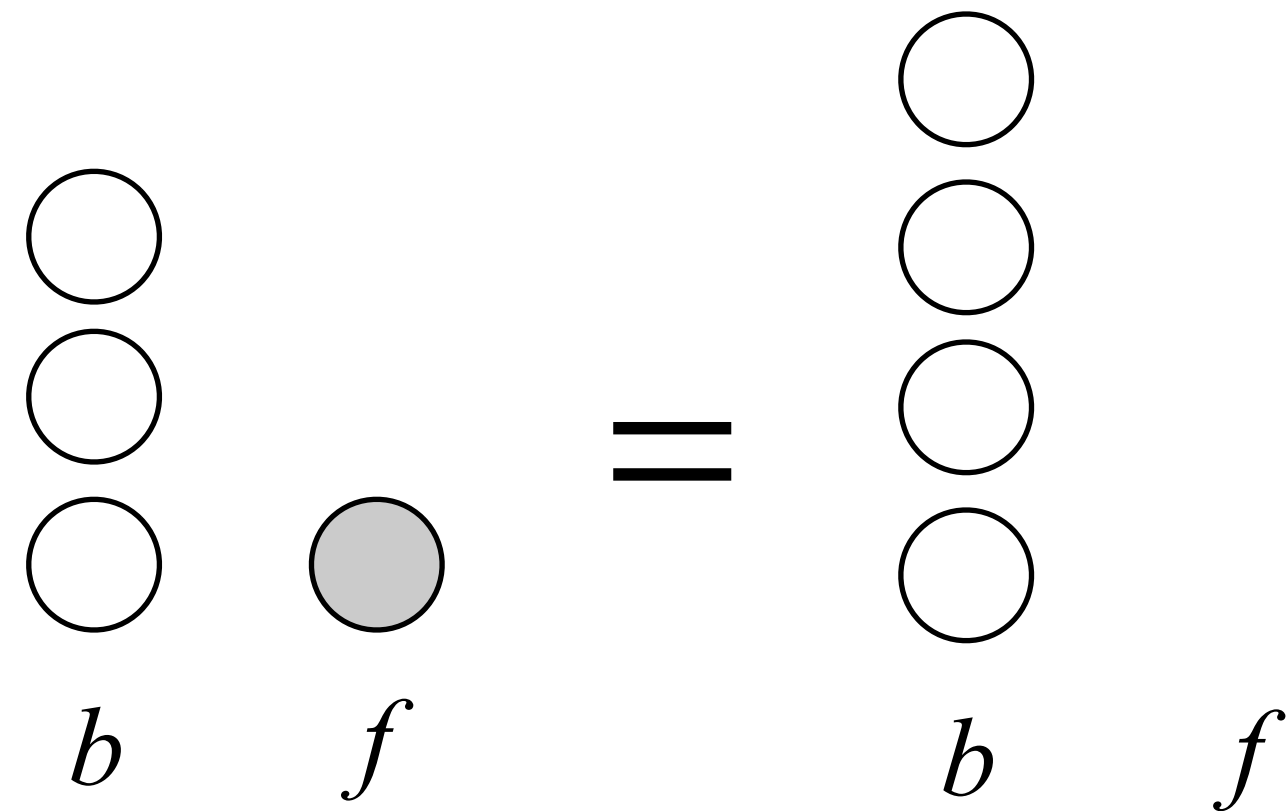
共同研究者: Jean-Paul Blaizot (Saclay CEA)

日高義将 (理研)

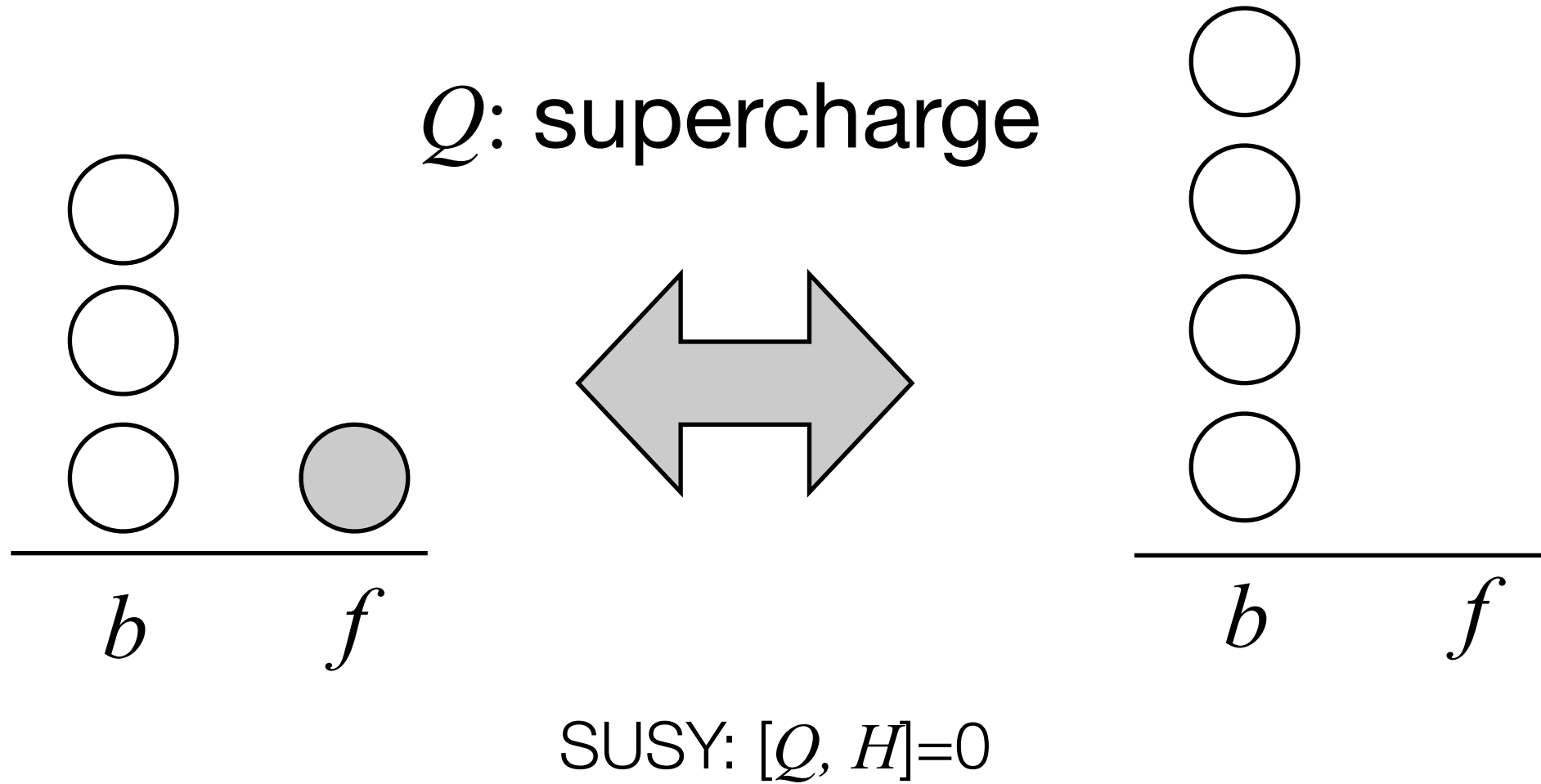


超対称性(SUSY)

ボソンとフェルミオンの入れ替えに対する対称性

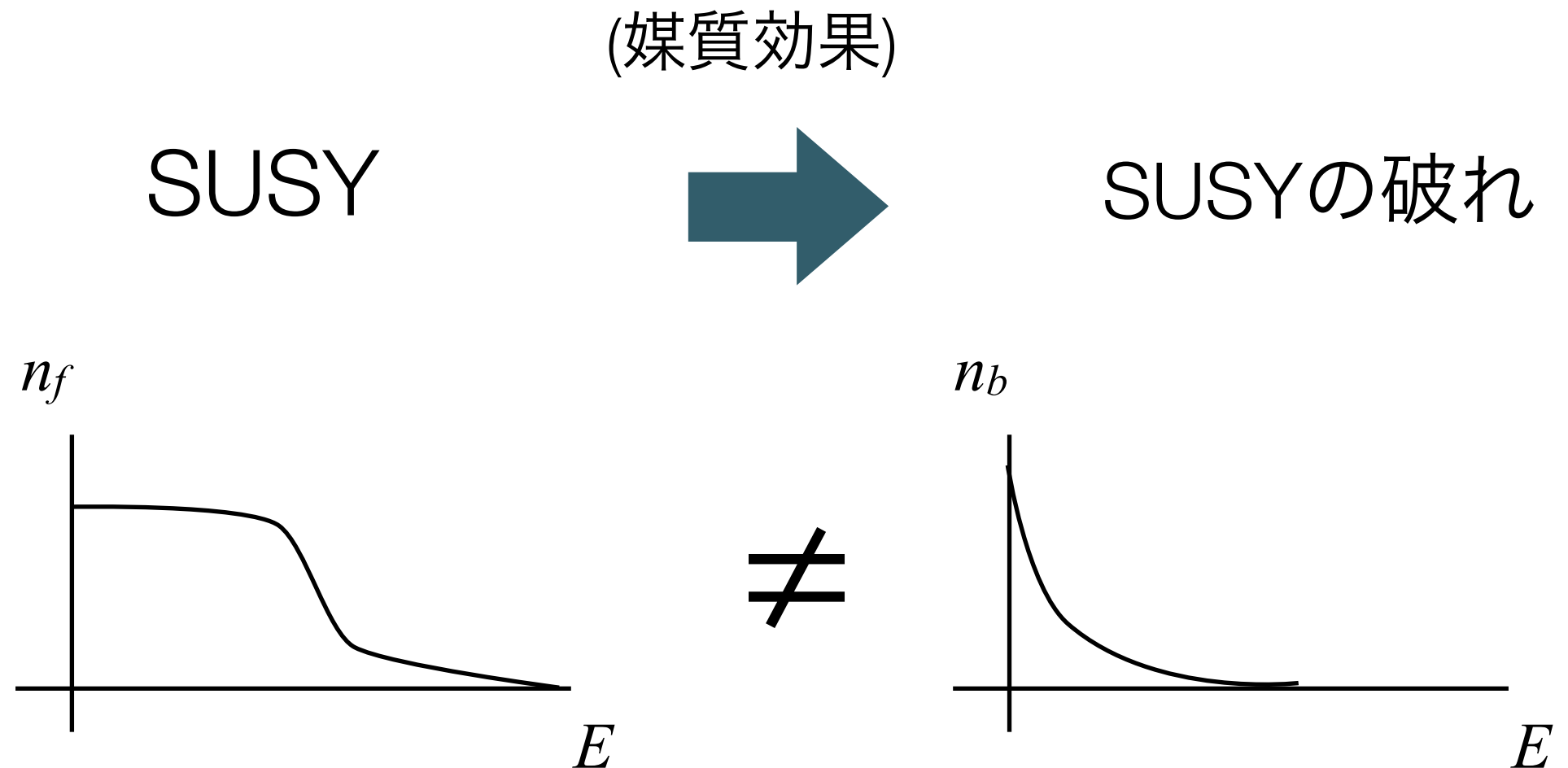


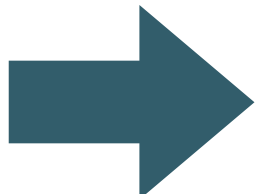
超対称性(SUSY)



Supercharge演算子: フェルミオンを一個消してボソンを一個作る (およびその逆過程)

SUSYの破れ



 南部-Goldstone (NG) モード?

SUSYの破れに対応したNG “フェルミオン”

南部-Goldstoneの定理:
(fermion ver.)

$$-ik_\mu \int d^4x e^{ik \cdot (x-y)} \underbrace{\langle T J^\mu(x) O(y) \rangle}_{\text{NGモード}} = \underbrace{\langle \{Q, O\} \rangle}_{\text{オーダーパラメータ}}$$

破れた対称性

J^μ : supercurrent
 $Q=J^0$: supercharge

「オーダーパラメータが有限の時、左辺の伝播関数には $k \rightarrow 0$ に極がある」

SUSYの破れに対応したNG “フェルミオン”

破れた対称性

$$-ik_\mu \int d^4x e^{ik \cdot (x-y)} \langle T J^\mu(x) O(y) \rangle = \langle \{Q, O\} \rangle$$

NGモード

オーダーパラメータ
($\mu=0$)

今の場合オーダー parameter はエネルギー・運動量テンソル($T^{0\nu}\gamma_\nu$).

Wess-Zumino模型

媒質があればSUSYは常に破れている。 $\langle T^{\mu\nu} \rangle = \text{diag}(\varepsilon, p, p, p)$

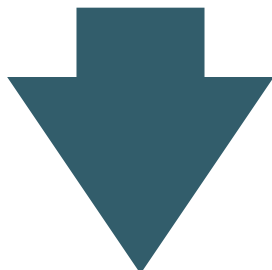
SUSYはフェルミオン的な対称性なので、

出現するのはNG “フェルミオン”(Goldstino)

数少ないフェルミオン的ゼロモード

高温QED/QCDにおける擬goldstino

高温ではクオークとグルーオンはほぼゼロ質量



相互作用を無視すればSUSYあり.

$$\bullet = \tilde{g}$$

q g

The equation shows a black circle symbol followed by an equals sign, and then a tilde over the letter 'g'. Below the circle is the letter 'q' and below the tilde 'g' is the letter 'g', representing the equivalence between a quark and a gaugino in the SUSY context.

高温QED/QCDにおける擬goldstino

実際、弱結合ではQED/QCDでクォークの擬ゼロモードが存在。

Y. Hidaka, D. S., and T. Kunihiro, Nucl. Phys. A **876**, 93 (2012)

D. S., PRD **87**, 096011 (2013).

J. P. Blaizot and D. S., Phys. Rev. D 89, 096001 (2014).

分散関係	$\text{Re}\omega = p/3$
崩壊率	Im
強度	$\left\{ \begin{array}{ll} \frac{g^2}{144\pi^2} & \text{QED} \\ g^2 \frac{(4 + N_f)^2}{48\pi^2} & \text{QCD} \end{array} \right.$

分散関係は線形 (Type-I NG mode).

実験場としての冷却原子系

- 格子構造（光学格子）→ハバード模型
- 相互作用の強さを調整できる(レーザー強度、磁場：フェッシュバッハ共鳴)

冷却原子系は、実験が難しい**多体系の実験場**として使える

Wess-Zumino model: Y. Yu, and K. Yang, PRL **105**, 150605 (2010)

Dense QCD: K. Maeda, G. Baym and T. Hatsuda, PRL **103**, 085301 (2009)

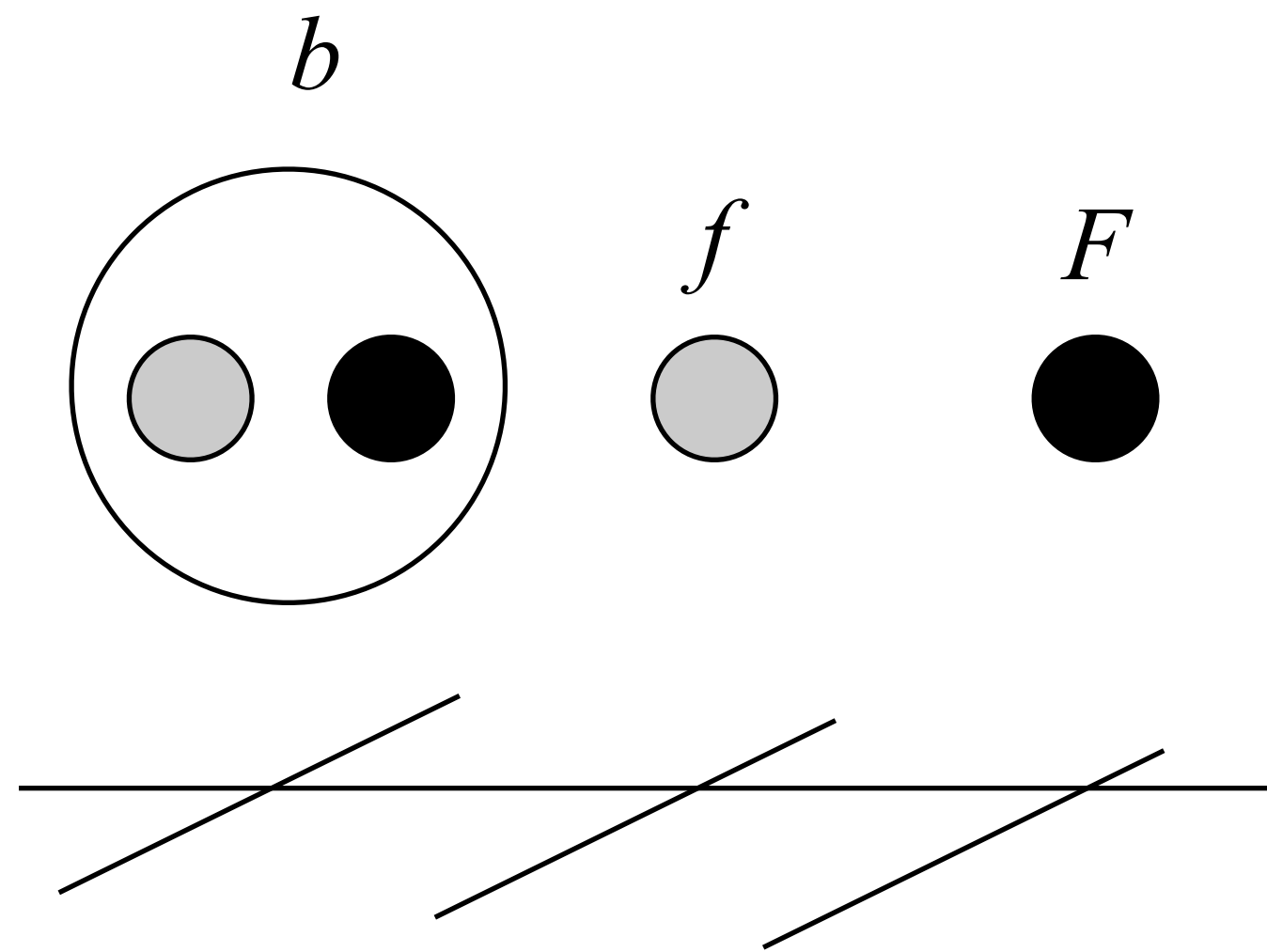
相対論的QED: Kapit and Mueller, PRA **83**, 033625 (2011)

本研究のMotivation

もし冷却原子系を使ってSUSYを持つ系をsimulateできれば、goldstinoを実験的に観測できる!!

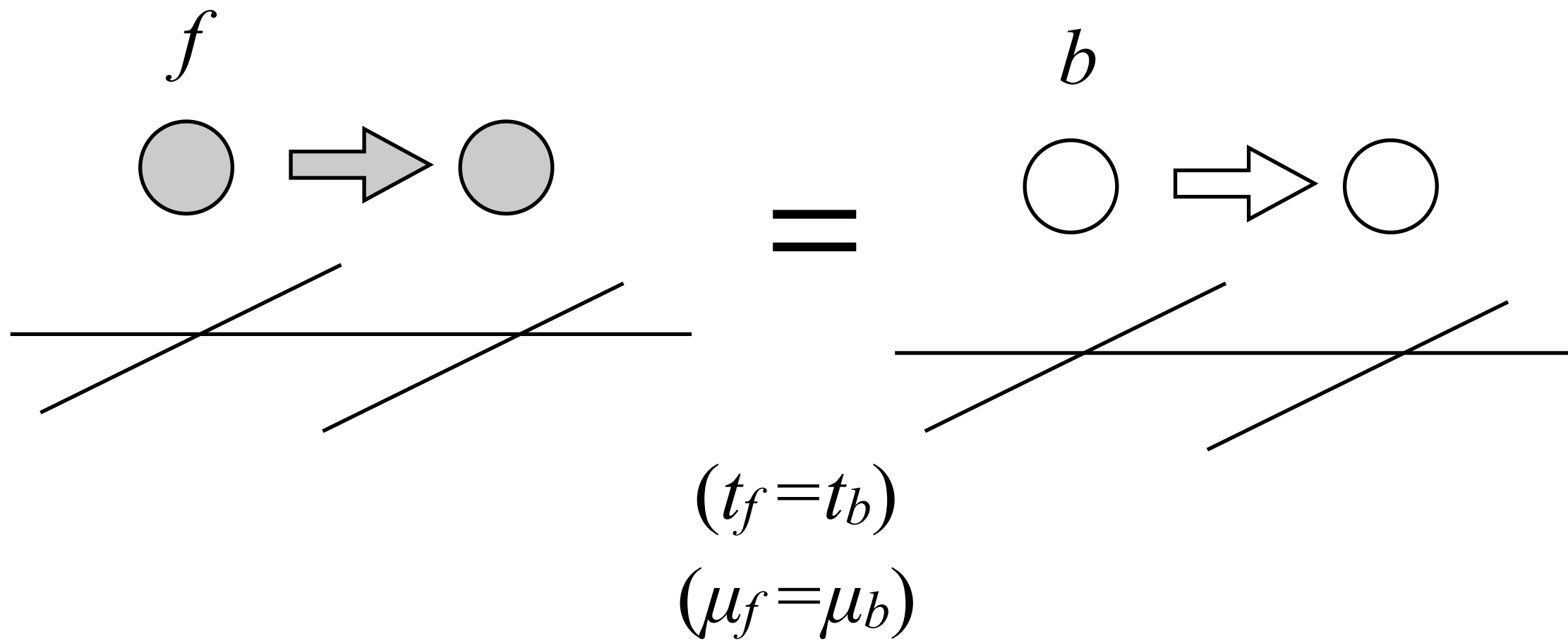
冷却原子系における超対称性

光学格子上に2種類のフェルミオン (f, F)
とその束縛状態のボソン (b) を載せる



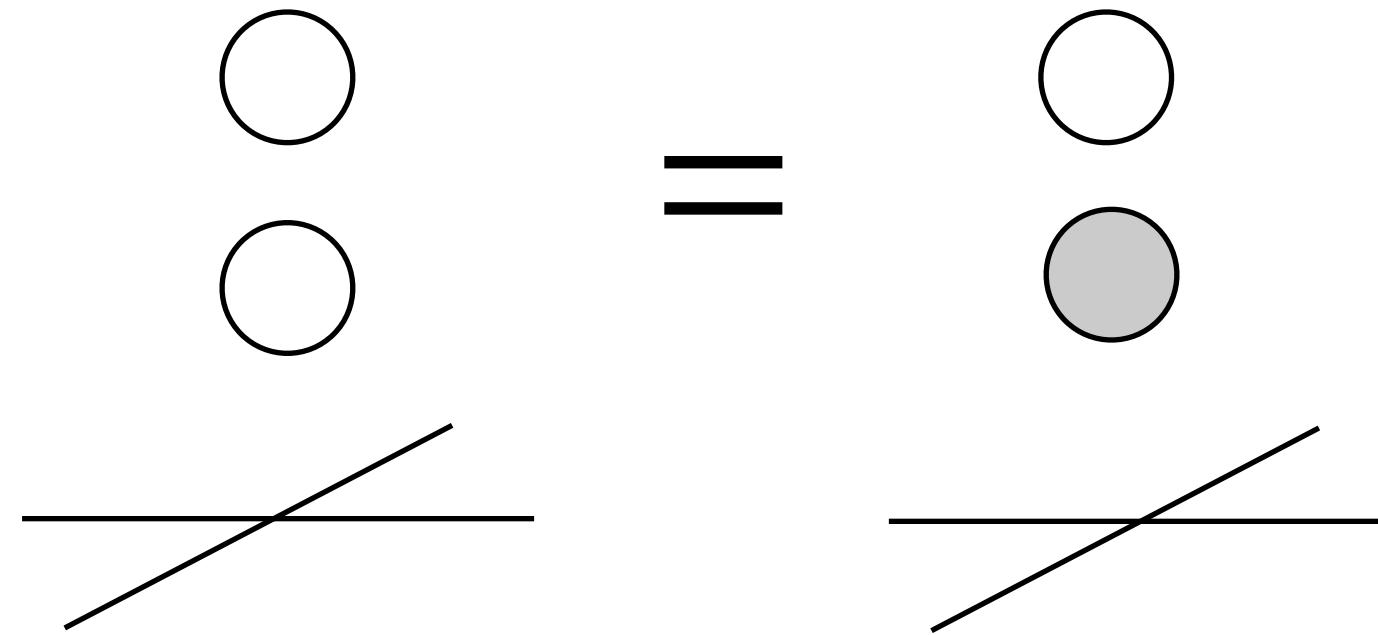
冷却原子系における超対称性

$$H_\alpha = - \sum_{\langle ij \rangle} t_\alpha a_i^{\alpha\dagger} a_j^\alpha - \mu_\alpha \sum_i a_i^{\alpha\dagger} a_i^\alpha$$



冷却原子系における超対称性

$$\frac{U_{bb}}{2} \sum_i n_i^b (n_i^b - 1) + U_{bf} \sum_i n_i^b n_i^f$$



$t_f = t_b, U_{bb} = U_{bf}, \mu_f = \mu_b$ の場合、 $Q = bf^\dagger$ はハミルトニアンと可換。

F は decouple.

SUSYの破れに関連したNG “フェルミオン”

$$-ik_\mu \int d^4x e^{ik \cdot (x-y)} \langle TJ^\mu(x)O(y) \rangle = \langle \{Q, O\} \rangle$$

↑
NGモード

↑
オーダーパラメータ

↑
破れた対称性

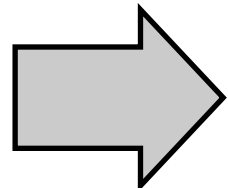
$O=Q^\dagger$ とすると、NG modeは $\langle QQ^\dagger \rangle$ に出現.

オーダーパラメータは今回考える系の場合、密度(ρ).

SUSYは ρ が有限だと常に破れている.

セットアップ

$d=2$

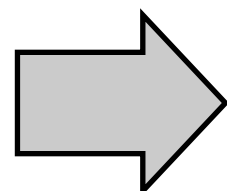


BECなし.

連続極限を考える : $a \ll (k_f)^{-1}, (T)^{-1}$

(以後 $a=1$ の単位で解析.)

$\Delta\mu = \mu_f - \mu_b \neq 0$



ExplicitなSUSY breaking

resummed perturbationによる計算

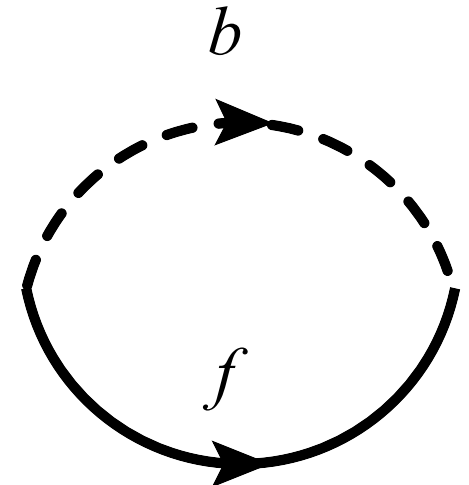
Goldstinoの伝播関数、スペクトルを計算

$$\langle Q^\dagger(x)Q(0) \rangle$$

$$Q = bf^\dagger \text{より、}$$

1ループの伝播関数は

$$\langle Q^\dagger(x)Q(0) \rangle =$$



ハミルトニアンレベルではSUSYがあるので、フェルミオンとボソンの分散関係が同じになり、 $\omega - \Delta\mu, p \rightarrow 0$ で積分が発散
(ピンチ特異性)

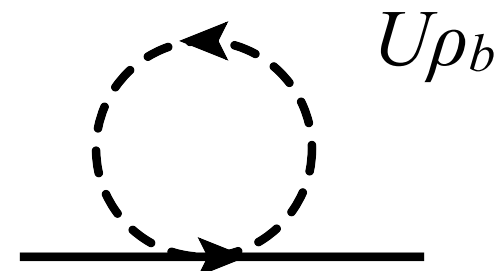
$$(\Delta\mu = \mu_f - \mu_b)$$

$$(\text{フェルミオン項}) = \int \frac{d^2 k}{(2\pi)^2} \frac{n_F(\epsilon_{\mathbf{k}}^f)}{\omega - \Delta\mu - t(2\mathbf{k} \cdot \mathbf{p} + \mathbf{p}^2)} \rightarrow \infty$$

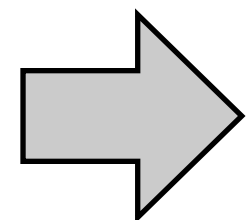
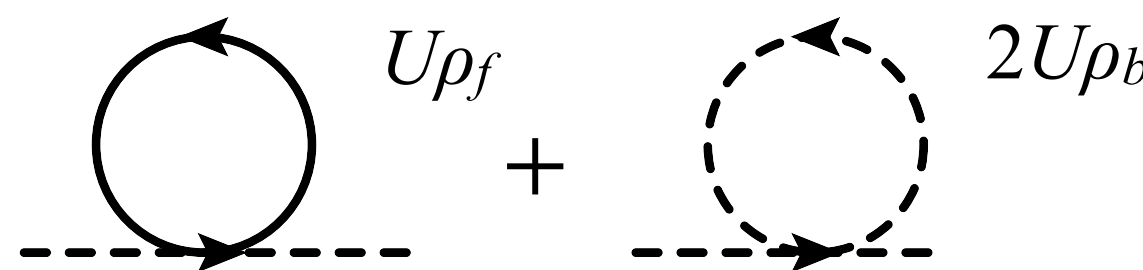
resummed perturbationによる計算

(1) 分散関係の密度補正をresum

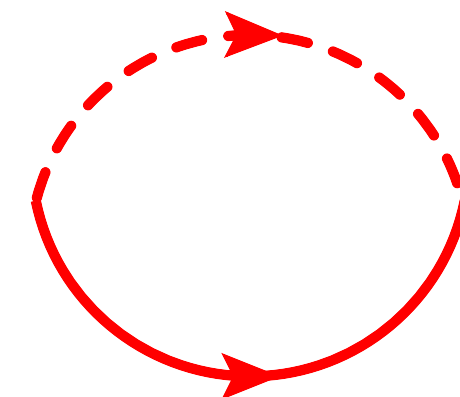
フェルミオン:



ボソン:



ピンチ特異性は正則化

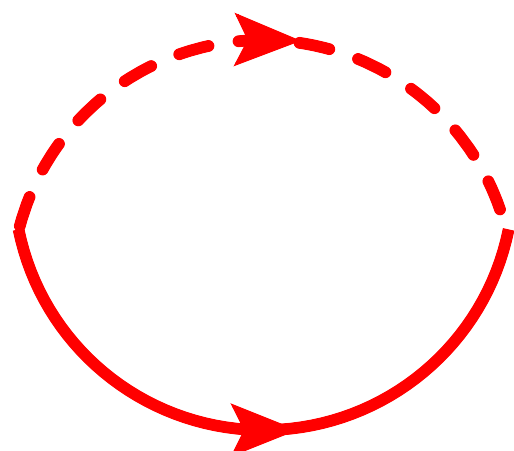


$$(\text{フェルミオン項}) = \int \frac{d^2 k}{(2\pi)^2} \frac{n_F(\epsilon_{\mathbf{k}}^f)}{\omega - (\Delta\mu + t(2\mathbf{k} \cdot \mathbf{p} + \mathbf{p}^2) + \cancel{U\rho})} \rightarrow U^{-1}$$

resummed perturbationによる計算

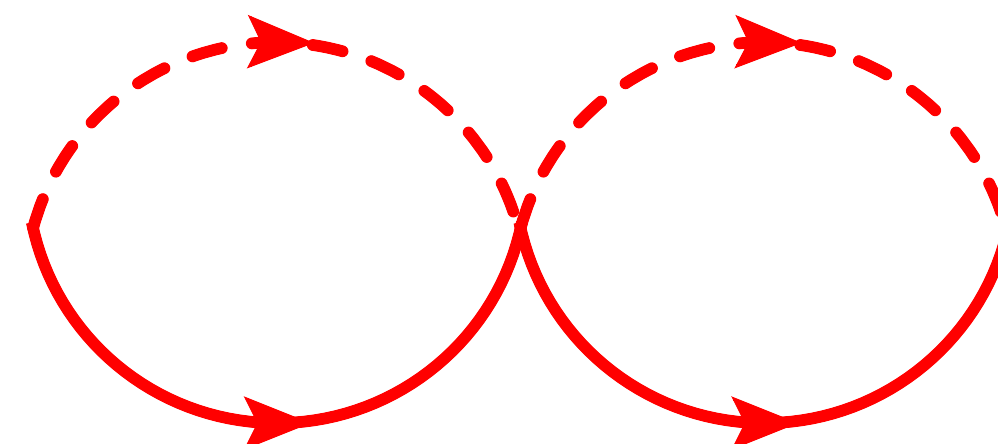
全てのringダイアグラムが同じオーダーの寄与

$$U^{-1}$$

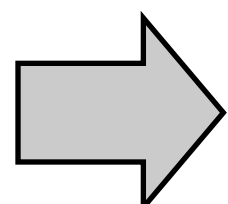


$$U^{-1} \times U \times U^{-1} = U^{-1}$$

+



+...



無限個のringダイアグラムの足し合わせが必要

resummed perturbationによる計算

(2) Random Phase Approximation

$$\text{Diagram A} = \text{Diagram B} + \text{Diagram C}$$

$$\text{Diagram D}^{-1} = \text{Diagram E}^{-1} + U$$

self-consistentな式でなく explicitに書ける。

エネルギー・運動量で展開

(1), (2)を使ってGoldstinoの伝播関数を計算.

運動量が小さい場合に興味がある.

→エネルギー・運動量で展開

$$p \ll k_f, U\rho/(k_f t)$$

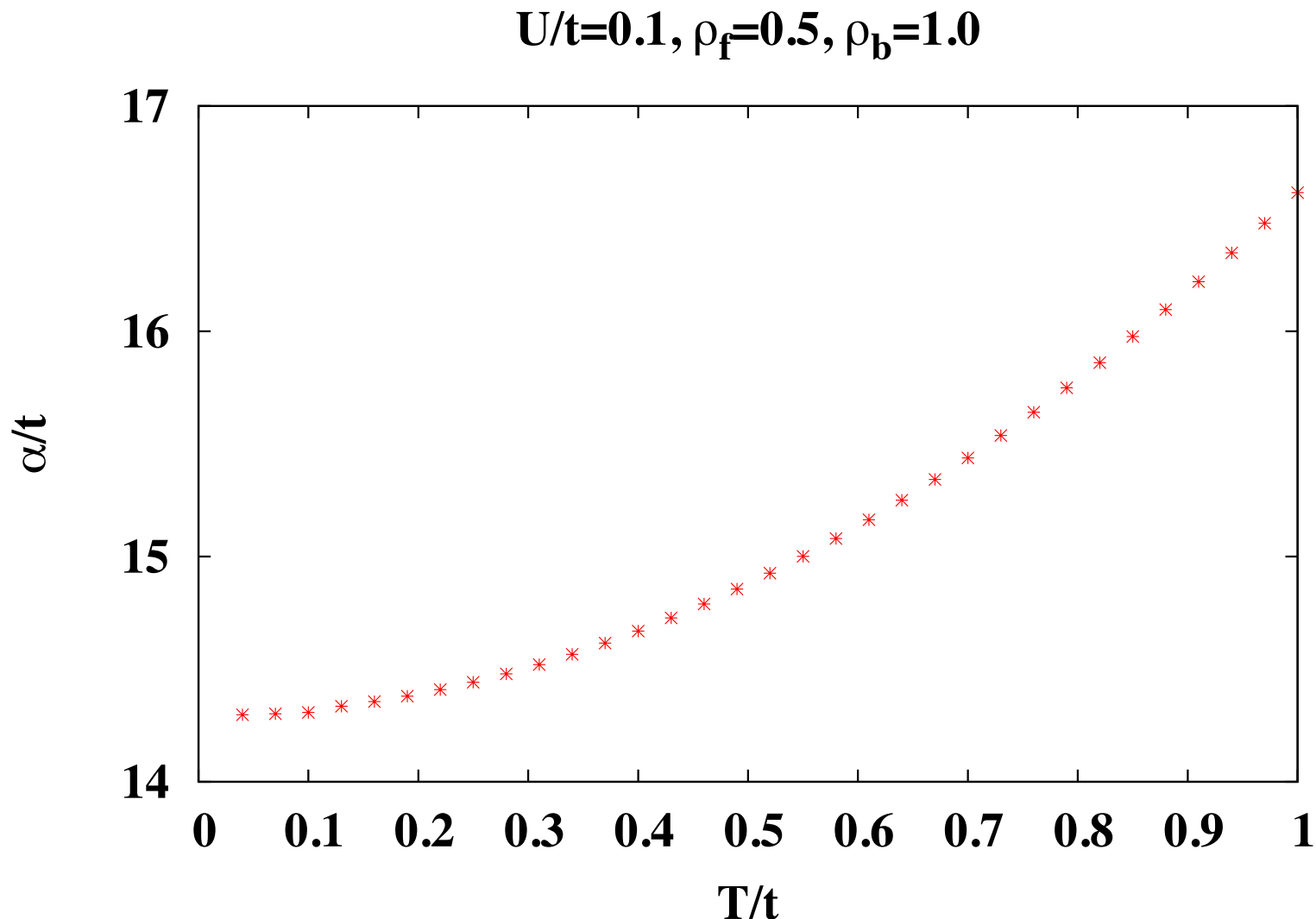
goldstinoのスペクトル

分散関係	ω
留数	1 (sum ruleから許される最大値)

Type-II NG mode $(T=0\text{の場合})$
(相対論的な系ではType-I). $\alpha \equiv \frac{1}{\rho} \left(\frac{4\pi t^2 \rho_f^2}{U\rho} - t(\rho_f - \rho_b) \right)$

崩壊幅は、NG定理より $p=0$ で 0 と期待される。
(p :有限の時の崩壊幅の大きさは、衝突効果を入れてないため
確認できていない)

$T \neq 0$ での結果

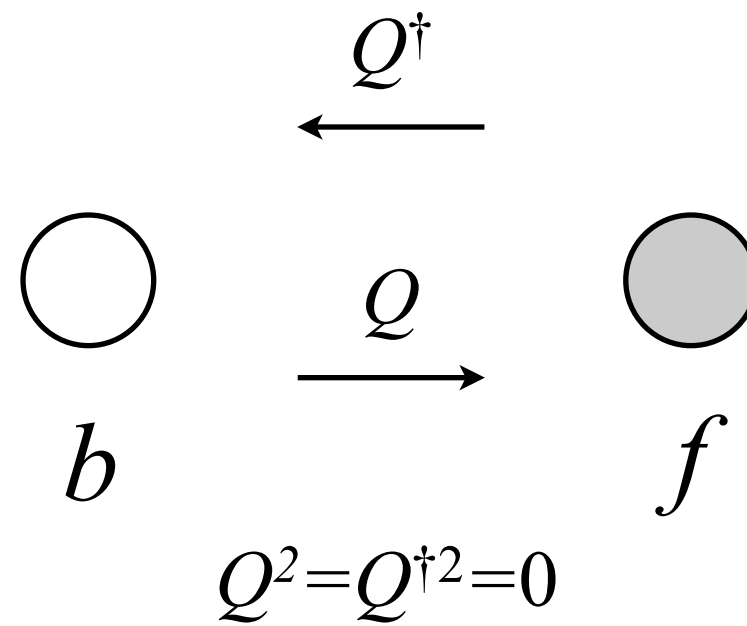


係数 α は T が大きくなると増える。

強磁性体中のスピン波とのアナロジー

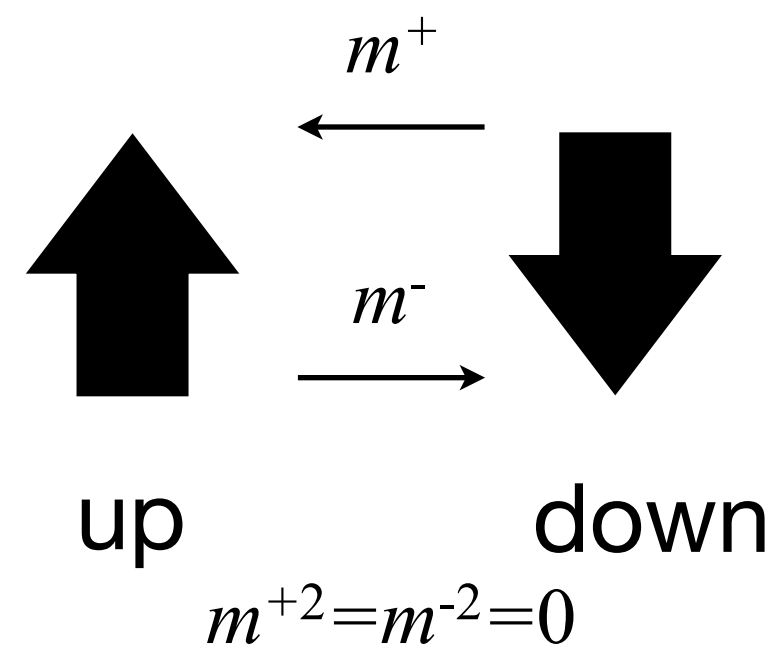
Goldstino

保存量: Q, Q^\dagger, ρ
破れている オーダー ρ パラメータ



強磁性体中のスピン波

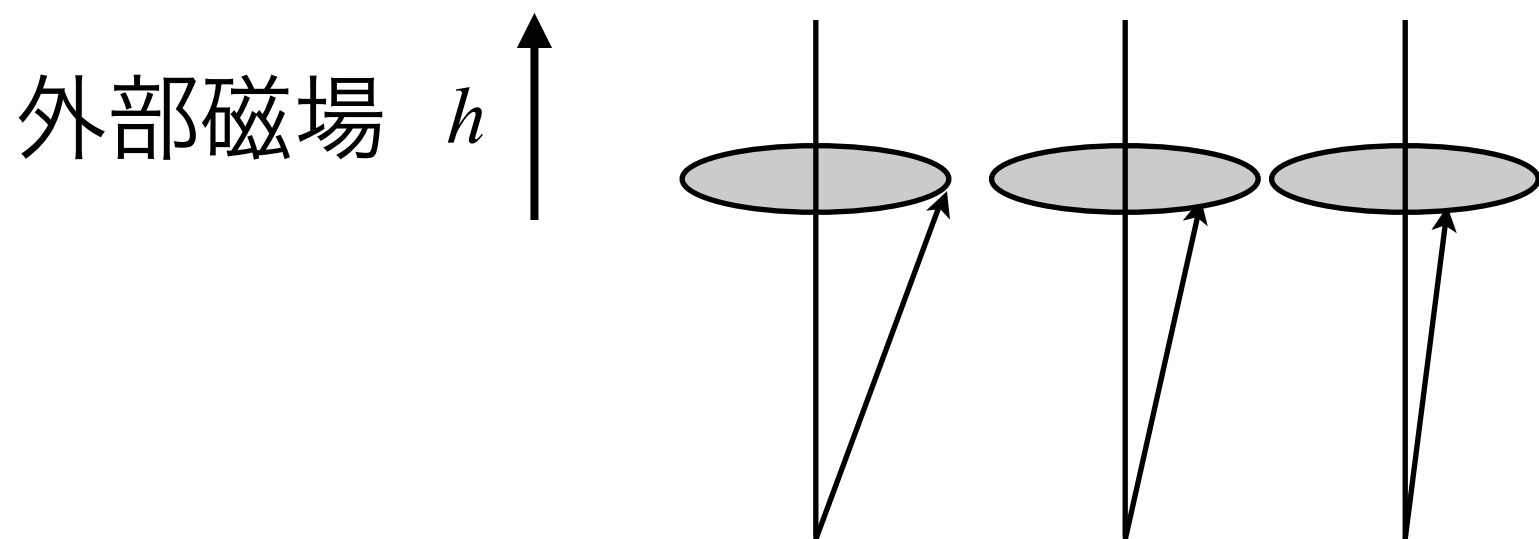
保存量: m^+, m^-, m^z
破れている オーダー m^z パラメータ



$$m^\pm = m^x \pm im^y$$

強磁性体中のスピン波とのアナロジー

スピン波



スピン波の分散関係: $\omega = h + \alpha p^2$

Type-II

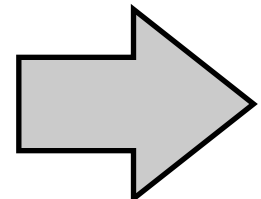
強磁性体中のスピン波とのアナロジー

一般に、NG modeがtype-IかIIは保存量間の交換関係の期待値によって決まる。

$$N_{\text{II}} = \text{rank} <[Q_a, Q_b]>/2$$
$$N_{\text{I}} = N_{BS} - 2N_{\text{II}}$$

H. Watanabe and H. Murayama, PRL **108**, 251602 (2012)
Y. Hidaka, PRL **110**, 091601 (2013)

$$\begin{pmatrix} <[m^\pm, m^z]>=0 \\ <[m^+, m^-]>=2m_0 \end{pmatrix}$$
$$\text{rank} <[Q_a, Q_b]>/2=1$$



$$N_{\text{II}} = 1$$
$$N_{\text{I}} = 0$$

$$N_{BS} = 2$$

強磁性体中のスピン波とのアナロジー

Goldstino

保存量の間の(反)交換関係は
スピン波の時と同じ構造.

$$\begin{aligned} & \langle [Q, \rho] \rangle = 0 \\ & \langle \{Q, Q^\dagger\} \rangle = \rho \\ & \left(\begin{array}{l} \langle [m^\pm, m^z] \rangle = 0 \\ \langle [m^+, m^-] \rangle = 2m_0 \end{array} \right) \end{aligned}$$

$$Q, Q^\dagger \rightleftharpoons m_+, m_- \quad \rho \rightleftharpoons m_z$$

したがって、両者のスペクトルが同じ形をしている事が自然に理解できる。

強磁性体中のスピン波とのアナロジー

$$\omega = \Delta\mu - \alpha \mathbf{p}^2 \quad \Delta\mu \rightleftharpoons h$$

T. Hayata, Y. Hidaka (2014)

スピン波と同様、 p :有限の時の崩壊幅は Dp^4 の形。
(D は久保公式使うと計算可能)

**この分散関係および崩壊率の運動量依存性
はモデルによらない！**

まとめ

- QGPおよび冷却原子系におけるgoldstinoの分散関係および強度の表式を得た(弱結合、連続極限で).
- goldstinoと強磁性体中のスピン波の分散関係の類似性を、保存量間の(反)交換関係が同じ構造を持っている事から理解した.